

УДК 532.783:548.0

**СТРУКТУРНЫЕ И ТЕРМОДИНАМИЧЕСКИЕ СЛЕДСТВИЯ ВЗАИМОДЕЙСТВИЯ
КОНФОРМАЦИОННЫХ СТЕПЕНЕЙ СВОБОДЫ АЗОМЕТИНОВ
В НЕМАТИЧЕСКОЙ ФАЗЕ**

Е.М. Аверьянов

Институт физики им. Л.В. Киренского СО РАН, Красноярск
E-mail: aver@iph.krasn.ru

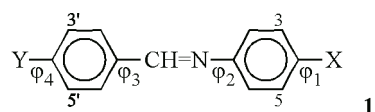
Статья поступила 8 июня 2013 г.

Исследовано взаимодействие конформационных степеней свободы азометинов в нематической фазе, индуцированное электронными донорно-акцепторными свойствами концевых заместителей бензилиденанилинового остова. Данные степени свободы, связанные с углами φ_k вращения вокруг связей между заместителем и анилиновым кольцом (φ_1), а также между мостиком $\text{CH}=\text{N}$ и анилиновым кольцом (φ_2), характеризуются параметрами $Q_k = \langle \cos^2 \varphi_k \rangle$. Установлено, что взаимодействие этих степеней свободы проявляется в линейной зависимости $Q_2(Q_1)$. В рамках феноменологической теории выяснено влияние этого взаимодействия на изменения δ_k величин Q_k при фазовом переходе нематический жидккий кристалл—изотропная жидкость, температуру T_{NI} и характер этого перехода. Дан вывод установленных ранее эмпирических зависимостей $T_{\text{NI}}(Q_k)$ при наличии прямого и косвенного стерических эффектов боковых заместителей, влияющих на значения Q_k . Показано многообразное сочетание знаков δ_k в нематической фазе, что является предпосылкой конформационного полиморфизма нематических фаз азометинов.

Ключевые слова: азометины, бензилиденанилин, конформация, стерические эффекты заместителей, переход нематик—изотропная жидкость, конформационный полиморфизм.

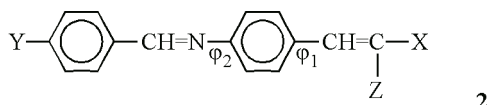
ВВЕДЕНИЕ

Производные азометинов с приведенным ниже фрагментом



образуют термотропные жидкые кристаллы (ЖК) различного типа [1, 2] с широким спектром практических применений. Технологические характеристики этих материалов зависят от углов внутреннего вращения φ_k , определяющих степень сопряжения фрагментов и электронную структуру молекул, анизотропию поляризуемости и межмолекулярных взаимодействий. В соединениях 1 угол φ_2 между плоскостями мостика $\text{CH}=\text{N}$ и фенильного кольца зависит от силы донорно-акцепторных электронных свойств фрагментов X, Y и может изменяться от 0 до 90°, а угол φ_3 нечувствителен к электронным свойствам фрагментов X, Y [2–8]. При X=H усиление донорных (акцепторных) свойств фрагмента Y приводит к росту (снижению) φ_2 . При Y=H усиление донорных (акцепторных) свойств фрагмента X вызывает снижение (рост) φ_2 .

Зависимость ϕ_2 от донорно-акцепторных свойств фрагментов X, Y приводит к зависимости ϕ_2 от степени сопряжения этих фрагментов с фенильными кольцами. Здесь возможны два случая. В первом из них фрагмент X (или Y) непосредственно связан с кольцом и имеет структуру типа NO_2 , NH_2 , $\text{N}(\text{CH}_3)_2$, COOH , $\text{C}(\text{O})\text{OC}_n\text{H}_{2n+1}$. Поворот X (Y) относительно плоскости фенильного кольца характеризуется углом ϕ_1 (ϕ_4). Изменение последнего из-за стерического эффекта заместителя Z в положениях 3 или 5 (3' или 5') изменяет степень сопряжения X (Y) с кольцом и угол ϕ_2 . В результате прямой стерический эффект заместителя Z (изменение ϕ_1 или ϕ_4) сопровождается косвенным стерическим эффектом этого заместителя (изменением ϕ_2). Во втором случае фрагмент X связан с фенильным кольцом через мостиковую группу, передающую сопряжение, как в соединении **2**.



Прямой стерический эффект объемного заместителя Z увеличивает угол ϕ_1 и уменьшает сопряжение X с кольцом. При донорном (акцепторном) фрагменте X это приводит к увеличению (уменьшению) угла ϕ_2 — косвенному стерическому эффекту заместителя Z.

В обоих случаях связь ϕ_2 (ϕ_1) можно рассматривать как взаимодействие конформационных степеней свободы. В научном и прикладном аспектах актуально выяснить влияние этого взаимодействия на конформационное состояние молекул, температуры и характер фазовых переходов в структурно-упорядоченных средах при конкурентном влиянии анизотропных межмолекулярных взаимодействий и внутримолекулярных электронных эффектов на значения $\phi_{1,2}$. Целью настоящей работы является исследование влияния взаимодействия конформационных степеней свободы в соединениях **1**, **2** на конформационное состояние молекул в нематической фазе, температуру T_{NI} и характер фазового перехода нематик—изотропная жидкость (N—I).

ВЗАИМОДЕЙСТВИЕ МОЛЕКУЛЯРНЫХ КОНФОРМАЦИОННЫХ СТЕПЕНЕЙ СВОБОДЫ В ЖК

В статистическом молекулярном ансамбле ЖК барьеры внутреннего вращения фрагментов для типичных мезогенных молекул сравнимы с энергией межмолекулярных взаимодействий или теплового движения [2]. Для отдельной молекулы углы $\phi_k(\mathbf{r}, \Omega)$ внутреннего вращения фрагментов flуктуируют вместе с положением \mathbf{r} и ориентацией Ω молекулы относительно ее ближнего анизотропного координационного окружения или осей макроскопической анизотропии ЖК, связанных с дальним ориентационным порядком молекул. Значения ϕ_k , рассчитываемые для изолированных молекул [8], не связаны непосредственно с экспериментально измеряемыми величинами [2], что затрудняет использование теоретической зависимости ϕ_2 (ϕ_1) для интерпретации эксперимента. Для пар молекулярных фрагментов с углами относительного вращения ϕ_k при энергетической эквивалентности состояний $[\pm\phi_k]$ и $[\pi\pm\phi_k]$ параметрами конформационного состояния молекулярного ансамбля являются величины $\langle \cos^{2n}\phi_k \rangle$, где скобки $\langle \dots \rangle$ означают статистическое усреднение по ансамблю [2, 7]. Величины $\langle \cos^{2n}\phi_k \rangle$ характеризуют физические свойства среды, зависящие от конформационного состояния молекул, и определяются различными физическими методами [9, 10]. Поэтому для молекул типа **1** естественно рассматривать связь $Q_2(Q_{1,4})$ между величинами $Q_k = \langle \cos^2\phi_k \rangle$, от которых зависят измеряемые свойства молекул (например, силы осцилляторов молекулярных переходов и компоненты тензора поляризуемости [2], химические сдвиги ЯМР на ^1H и ^{13}C [4—6]) и температуры переходов между различным ЖК-фазами [2, 7]. С учетом того, что два заместителя в положениях X и Y молекулы **1** дают аддитивный вклад в измеряемое значение Q_2 [5, 6], а влияние X значительно сильнее, чем влияние Y (как и при однократном замещении [4]), можно ограничиться связью $Q_2(Q_1)$.

Поскольку зависимость $Q_2(Q_1)$ обусловлена электронным сопряжением фрагмента X (фрагмента $\text{CH}=\text{CZ}$ в **2**) с фенильным кольцом, используем разложение функции $Q_2(Q_1)$ в ряд

Зависимость (1) для производных **1** в растворе с $X = N(CH_3)_2$, $Y = NO_2$ (**1**) и $X = C(O)O—CH_3$, $Y = H$ (**2**), значение Q_{2i} в изотропной фазе нематического ЖК MBBA (**1**, $X = C_4H_9$, $Y = OCH_3$) (**3**). (Пояснения в тексте)

по степеням Q_1 в окрестности точки $Q_1 = 0$, для которой это сопряжение отсутствует. В линейном приближении имеем связь

$$Q_2 = Q_2^{(0)} + \kappa Q_1 \quad (1)$$

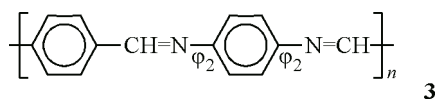
с коэффициентами $Q_2^{(0)} = Q_2(Q_1 = 0)$, $\kappa = (dQ_2/dQ_1)_{Q_1=0}$.

В данном случае можно пренебречь возможной слабой зависимостью коэффициента κ от фазового состояния среды и степени упорядоченности отдельной фазы. Для донорных (акцепторных) заместителей X в молекулах **1**, **2** имеем $\kappa > 0$ ($\kappa < 0$).

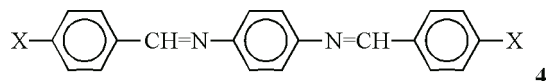
Формулу (1) подтверждает представленная на рисунке линейная зависимость $Q_{2i}(Q_1)$ для молекул **1** с $X = N(CH_3)_2$, $Y = NO_2$ в растворе при варьировании Q_{1i} за счет заместителей CH_3 в 3,5-положениях анилинового кольца при отсутствии заместителей в 3',5'-положениях бензилиденового кольца [2, 11]. Для фрагмента X (Y) угол ϕ_1 (ϕ_4) характеризует отклонение нормали к плоскости фенильного кольца от плоскости, проходящей через связь $C_{Ar}—N$ и ось симметрии неподеленной электронной пары атома N . При $Q_{1i} = 0,140$ меньшее (большее) значение Q_{2i} на рисунке отвечает наличию (отсутствию) двух дополнительных заместителей CH_3 в 3',5'-положениях бензилиденового кольца и значению $Q_{4i} = 0,165$ ($Q_{4i} = 1$). Незначительное снижение Q_{2i} при существенном снижении Q_{4i} показывает слабое влияние сильного акцептора $Y = NO_2$ на величину Q_{2i} , определяемую сильным донором $X = N(CH_3)_2$ и величиной Q_{1i} . По данным рисунка, для $X = N(CH_3)_2$ имеем $\kappa = 0,636$. Экстраполяция зависимости (1) к $Q_{1i} = 0$ дает величину $Q_{2i}^{(0)} = 0,372$, близкую к значению $Q_{2i} = 0,345 \pm 0,033$ для нематического ЖК *p*-метоксибензилиден-*p'*-бутиланилина (MBBA) в изотропной фазе [12].

При использовании значения $Q_{2i}^{(BA)} = 0,297$ для растворенных молекул бензилиденанилина (**1**, $X=Y=H$) [4] в качестве репера $Q_{2i}^{(0)}$ из формулы (1) следует, что предельно сильному акцептору X ($Q_{1i} = 1$, $Q_{2i} = 0$) отвечает величина $\kappa = -0,297$. Для молекулы **1** в растворе с $Y = H$ и сильным акцептором $X = C(O)O—CH_3$ ($Q_{1i} = 1$, $Q_{2i} = 0,106$ [2, 4]), типичным для мезогенных производных **1** и **2**, использование $Q_{2i}^{(0)} = Q_{2i}^{(BA)}$ дает $\kappa = -0,191$ и $|\kappa| \ll 1$.

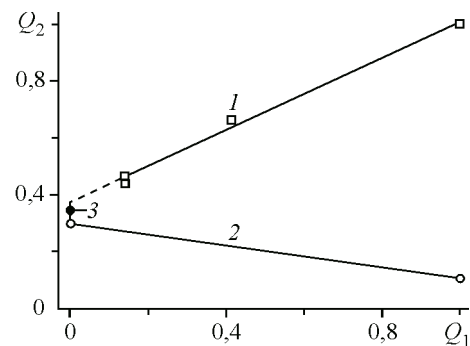
Соотношение (1) актуально для полиазометинов $[(Ar_1)—CH=N—(Ar_2)—N=CH—]_n$ с разнообразными ароматическими циклическими фрагментами $Ar_{1,2}$ [13–16]. Экспериментальные значения Q_2 для них неизвестны, хотя определяют характеристики электронной структуры, важные для приложений в оптоэлектронике [14–16]. Для наиболее известного полимера [15, 16]



значение $Q_{1i} = Q_{2i}$ должно быть близко к величине $Q_{2i} = 0,513$ в изотропной фазе нематических ЖК, состоящих из молекул



с заместителями $X = H$, CH_3 , OCH_3 , Cl , Br , I [7]. Эта величина Q_{2i} заметно выше значения $Q_{2i}^{(BA)}$ из-за взаимного влияния азометиновых фрагментов через фенильное кольцо. Квантово-



химический расчет для изолированной молекулы полимера **3** также дает меньшее значение φ_2 [15], чем для бензилиденанилина. Для соединений **3** и **4** с $Q_1 = Q_2$ из формулы (1) получаем

$$\kappa = (Q_2 - Q_2^{(0)})/Q_2. \quad (2)$$

Использование здесь величин Q_{2i} и $Q_{2i}^{(0)} = Q_{2i}^{(\text{BA})}$ вместо Q_2 и $Q_2^{(0)}$ дает $\kappa = 0,421$, т.е. группа N=CH является более слабым донором, чем заместитель X = N(CH₃)₂ в молекуле **1**.

КОНФОРМАЦИЯ МОЛЕКУЛ И ОСОБЕННОСТИ ПЕРЕХОДА N—I

Рассмотрим следствия связи (1) для перехода N—I в рамках феноменологического подхода [12]. В нематической фазе с относительно плотной упаковкой молекул анизотропные межмолекулярные взаимодействия (эффекты плотной упаковки, анизотропные дисперсионные взаимодействия) обусловливают наличие дальнего ориентационного порядка длинных молекулярных осей I относительно макроскопической оси n их преимущественной ориентации (директора). Ориентационная упорядоченность молекул характеризуется величиной $S = \langle 3\cos^2\theta - 1 \rangle / 2$ [17], где θ — угол между осями I и n. Те же межмолекулярные взаимодействия ответственны за изменения $\delta_1 = Q_1 - Q_{1i}$, $\delta_2 = Q_2^{(0)} - Q_{2i}^{(0)}$ параметров Q_1 и $Q_2^{(0)}$ относительно их равновесных значений Q_{1i} и $Q_{2i}^{(0)}$ в изотропной фазе. Поэтому изменения $\delta_{1,2}$ можно рассматривать как следствие зависимости $Q_k(S)$. В произвольной системе координат тензорный параметр порядка нематика S имеет компоненты $S_{ij} = S(3n_i n_j - \delta_{ij})/2$, где $n_{i,j}$ — компоненты директора n в данной системе координат [17]. В системе координат xyz директора n||z диагональный тензор S имеет компоненты $S_{xx} = S_{yy} = -S/2$, $S_{zz} = S$. Зависимости $Q_k(S)$, обусловленные связью тензора S с параметрами Q_k , минимизируют плотность свободной энергии нематика [12]

$$\Delta F = \Delta F_S + \Delta F_Q + \Delta F_{SQ}. \quad (3)$$

Слагаемое ΔF_S , отражающее ориентационную упорядоченность молекул в отсутствие связи S и Q_k , имеет вид [17]

$$\Delta F_S = a(T - T_0^*) S^2/2 - BS^3/3 + CS^4/4 + \dots \quad (4)$$

с постоянными коэффициентами B, C, ... в узком интервале нематической фазы. Вклад ΔF_Q связан с изменениями δ_k . В отличие от молекул с одной актуальной конформационной степенью свободы [12], в рассматриваемом здесь случае функция $\Delta F_Q(\delta_k)$ с минимумом при $\delta_k = 0$ дается в низшем приближении положительно определенной квадратичной формой

$$\Delta F_Q = \delta_1^2/2\chi_1 + \delta_1\delta_2/\chi_m + \delta_2^2/2\chi_2 \quad (5)$$

с коэффициентами $\chi_k > 0$ и $\chi_m^2 > \chi_1\chi_2$. В силу некритического характера изменений δ_k по отношению к нематическому упорядочению молекул температурной зависимостью коэффициентов $\chi_{k,m}$ можно пренебречь. Слагаемое $\propto \delta_1\delta_2$ учитывает корреляцию между δ_1 и δ_2 за счет межмолекулярных взаимодействий. Слагаемое ΔF_{SQ} обусловлено связью тензора S со скалярными параметрами Q_k . В низшем порядке по S и Q_k функция $\Delta F_{SQ}(I_k)$ зависит от инвариантов $I_k = Q_k \text{Sp}(S^2) = 3Q_k S^2/2$ и имеет вид $\Delta F_{SQ} = -2(\mu_1 I_1 + \mu_2 I_2)/3$. С учетом (1) эта функция состоит из двух частей

$$\Delta F_{SQ}(Q_{ki}) = -S^2[\mu_1^* Q_{1i} + \mu_2 Q_{2i}^{(0)}], \quad (6)$$

$$\Delta F_{SQ}(\delta_k) = -S^2[\mu_1^* \delta_1 + \mu_2 \delta_2], \quad (7)$$

где $\mu_1^* = \mu_1 + \kappa\mu_2$. Подстановка слагаемого $\Delta F_{SQ}(Q_{ki})$ в (3) и включение его в ΔF_S (4) дают

$$T^* = T_0^* + (2/a)[\mu_1^* Q_{1i} + \mu_2 Q_{2i}^{(0)}]. \quad (8)$$

Экспериментальное различие температур T_{NI} и T^* составляет порядка градуса [17], и зависимость (8) справедлива также для T_{NI} . Линейная зависимость $T_{NI}(Q_{1i})$ с $\mu_1 > 0$ соответствует экспериментальным данным для мезогенных коричных кислот и их эфиров, а также других соединений.

нений с $\kappa = 0$ [2, 18], у которых конформация ароматического остава не зависит от сопряжения фрагмента X с оставом и величины Q_{1i} . При фиксированном значении Q_{1i} линейная зависимость $T_{NI}(Q_{2i})$ с $\mu_2 > 0$ подтверждается известными данными для мезогенных производных азометинов при варьировании параметра Q_{2i} во всем интервале изменения $Q_{2i} = 0 - 1$ за счет донорно-акцепторных свойств терминальных заместителей [7]. Согласно экспериментальным данным [2, 18], производная $\partial T_{NI}/\partial Q_{ki} \propto \mu_k/a$ равна нулю при отсутствии влияния углов ϕ_k на электронное сопряжение молекулярных фрагментов и поляризуемость молекул. Таким образом, в (8) имеем $\mu_k > 0$ независимо от электронной природы заместителей X.

Для мезогенных производных **2** в формуле (8) значения $T_0^*(Z)$, $Q_{1i}(Z)$ зависят от заместителя Z. При замене атома H заместителем Z изменение $\Delta Q_{1i} = Q_{1i}(H) - Q_{1i}(Z)$ сопровождается изменением $\Delta T_0^*(H-Z) = T_0^*(H) - T_0^*(Z)$ и суммарным изменением

$$\Delta T^*(H-Z) = \Delta T_0^*(H-Z) + (2/a)\mu_1^* \Delta Q_{1i}. \quad (9)$$

С учетом $T_{NI} \approx T^*$ это соотношение можно переписать в следующей форме

$$\Delta T_{NI}(H-Z) = \Delta T_{NI}^{(g)}(H-Z) + \Delta T_{NI}^{(s)}(Q_{1i}) + \Delta T_{NI}^{(s)}(Q_{2i}), \quad (10)$$

установленной экспериментально [2, 7]. Положительная величина $\Delta T_{NI}^{(g)}(H-Z) \equiv \Delta T_0^*(H-Z)$ обусловлена геометрическим эффектом заместителя Z, отражающим совокупное проявление следующих факторов: снижения анизотропии молекулярной формы за счет роста поперечного размера молекул; увеличения среднего межмолекулярного расстояния в направлении перпендикулярно директору **n**; результирующего снижения анизотропии межмолекулярных взаимодействий, обеспечивающих стабильность ЖК. При отсутствии влияния Q_k на электронное сопряжение молекулярных фрагментов и поляризуемость молекул ($\mu_k = 0$) выполняется равенство $\Delta T_{NI}(H-Z) = \Delta T_{NI}^{(g)}(H-Z)$ [2, 18]. Положительное значение $\Delta T_{NI}^{(s)}(Q_{1i}) = 2\mu_1 \Delta Q_{1i}/a$ обусловлено прямым стерическим эффектом заместителя Z — снижением Q_{1i} . Величина $\Delta T_{NI}^{(s)}(Q_{2i}) = -2\mu_2 \Delta Q_{2i}/a$ связана с косвенным стерическим эффектом заместителя Z — изменением $\Delta Q_{2i} = -\kappa \Delta Q_{1i}$ за счет связи $Q_2(Q_1)$. Для донорных заместителей X с $\kappa > 0$ и $\Delta T_{NI}^{(s)}(Q_{2i}) > 0$ прямой и косвенный стерические эффекты заместителя Z приводят к увеличению $\Delta T_{NI}(H-Z)$. Для акцепторных заместителей X с $\kappa < 0$ и $\Delta T_{NI}^{(s)}(Q_{2i}) < 0$ положительный вклад $\Delta T_{NI}^{(s)}(Q_{1i})$ в значение $\Delta T_{NI}(H-Z)$ частично или полностью компенсируется отрицательным вкладом $\Delta T_{NI}^{(s)}(Q_{2i})$. Это объясняет аномально низкие значения $\Delta T_{NI}(H-Z)$ для мезогенных азометинов типа **2** с акцепторными фрагментами X [2, 7], в том числе случай $\Delta T_{NI}(H-Z) = 0$. Сравнение формул (9) и (10) показывает, что соотношение $\Delta T_{NI}(H-Z) < \Delta T_{NI}^{(g)}(H-Z)$ для молекул **2** с акцепторами X [2, 7] отвечает неравенству $\mu_1^* = (\mu_1 - |\kappa|\mu_2) < 0$. С учетом $|\kappa| \ll 1$ отсюда следует соотношение $\mu_2 \gg \mu_1$.

Минимизация суммы $\Delta F_Q + \Delta F_{SQ}(\delta_k)$ относительно $\delta_{1,2}$ дает соотношения

$$\delta_1 = S^2 \frac{\chi_1(\mu_1^* - \mu_2 \chi_2 / \chi_m)}{1 - \chi_1 \chi_2 / \chi_m^2}, \quad \delta_2 = S^2 \frac{\chi_2(\mu_2 - \mu_1^* \chi_1 / \chi_m)}{1 - \chi_1 \chi_2 / \chi_m^2}. \quad (11)$$

Допустимые знаки величин δ_k указаны в таблице. Они определяются знаками коэффициентов μ_1^* , χ_m и условием $\chi_m^2 > \chi_1 \chi_2$. В дополнение к табличным данным при $\kappa < 0$ для $\mu_1^* = 0$ и $\chi_m > 0$ ($\chi_m < 0$) имеем $\delta_1 < 0$, $\delta_2 > 0$ ($\delta_k > 0$). Измеряемое значение $Q_2 = Q_{2i} + \delta_2^*$ включает слагаемые $Q_{2i} = Q_{2i}^{(0)} + \kappa Q_{1i}$, $\delta_2^* = \delta_2 + \kappa \delta_1$. Допустимые знаки δ_2^* указаны в таблице вместе с выражениями для δ_2^* , когда их знак определяется конкретными значениями δ_k и κ . Корреляция величин δ_1 и δ_2^* за счет связи $Q_2(Q_1)$ модифицирует значения $\delta_2^* \neq \delta_2$ и индуцирует значения $\delta_2^* \neq 0$ при $\delta_2 = 0$.

Допустимые знаки величин δ_k , δ_2^ в молекулах 1, 2 при различных знаках коэффициентов μ_1^* , χ_m , κ*

		$\mu_1^* > 0$				$\mu_1^* < 0, \kappa < 0$				
		$\chi_m > 0$		$\chi_m < 0$		$\chi_m > 0$		$\chi_m < 0$		
δ_1	δ_2	δ_2^*		δ_1	δ_2	δ_1	δ_2	δ_1	δ_2	δ_2^*
		$\kappa > 0$	$\kappa < 0$							
-	+	$\delta_2 - \kappa \delta_1 $	+			-	+	-	+	+
0	+	+	+					0	+	+
+	+	+	$\delta_2 - \kappa \delta_1$	+	+			+	+	$\delta_2 - \kappa \delta_1$
+	0	+	-					-	0	+
+	-	$- \delta_2 + \kappa\delta_1$	-					-	-	$- \delta_2 + \kappa\delta_1$

Наибольшее число возможных сочетаний знаков δ_1 и δ_2^* имеет место при $\mu_1^*, \chi_m > 0$ для доноров и достаточно слабых акцепторов X, а также при $\mu_1^*, \chi_m < 0$ для достаточно сильных акцепторов X. Многообразное сочетание знаков δ_1 и δ_2^* обусловлено корреляцией между δ_1 и δ_2 за счет межмолекулярных взаимодействий ($1/\chi_m \neq 0$) и связи $Q_2(Q_1)$. В случае $1/\chi_m = 0$ число возможных сочетаний знаков δ_1 и δ_2^* уменьшается. При $\mu_1^* > 0$ и $\kappa > 0$ ($\kappa < 0$) имеем $\delta_1 > 0$ и $\delta_2^* > 0$ ($\delta_2^* = \delta_2 - |\kappa|\delta_1$). При $\kappa < 0$ и $\mu_1^* < 0$ ($\mu_1^* = 0$) получаем $\delta_1 < 0$ и $\delta_2^* > 0$ ($\delta_1 = 0$, $\delta_2^* > 0$). Различные сочетания знаков δ_1 и δ_2^* показывают возможность конформационного полиморфизма нематических азометинов, т.е. существования стабильных или метастабильных нематических модификаций с одним из допустимых сочетаний знаков δ_1 и δ_2^* .

Сравнение табличных данных с наблюдаемым в эксперименте сочетанием знаков δ_1 и δ_2^* позволяет судить о знаке χ_m . Нематической фазе MBVA со слабым донором X=C₄H₉ отвечает вариант $\delta_1 \approx 0$, $\delta_2^* > 0$ [2, 12], который соответствует значению $\chi_m > 0$. Для молекул 2 с X=C(O)O—C₂H₅, Y=OCH₃, Z=H при переходе от раствора к кристаллу имеем $\delta_1 = 0$ и $\delta_2^* > 0$ [19], а при Z=CH₃ такому же переходу соответствует δ_1 , $\delta_2^* > 0$ [20]. С учетом акцепторной природы X и $\mu_1^* < 0$ для этих соединений [7] из данных таблицы получаем $\chi_m < 0$.

Подстановка $\delta_{1,2}$ (11) в (5), (7) приводит функционал (3) к однопараметрической форме

$$\Delta F_S = a(T - T^*)S^2/2 - BS^3/3 + C^*S^4/4 + \dots \quad (12)$$

с коэффициентами T^* (8) и $C^* = C - \Delta C$, где

$$\Delta C = \frac{2}{1 - \chi_1\chi_2 / \chi_m^2} [(\mu_1^*)^2\chi_1 + \mu_2^2\chi_2 - 2\mu_1^*\mu_2\chi_1\chi_2 / \chi_m]. \quad (13)$$

Для величин μ_1^*, χ_m одного (разного) знака последнее слагаемое в квадратных скобках отрицательно (положительно). При $\mu_1^*, \chi_m > 0$ учет неравенств $[(\mu_1^*)^2\chi_1 + \mu_2^2\chi_2] > 2\mu_1^*\mu_2(\chi_1\chi_2)^{1/2}$, $\chi_m > (\chi_1\chi_2)^{1/2}$ дает $\Delta C > 0$. При $\mu_1^*, \chi_m < 0$ замена этих величин их абсолютными значениями в формуле (13) и указанных неравенствах приводит к тому же результату. Снижение C^* и возможность смены знака C^* на отрицательный показывает необходимость учета следующих членов ряда (12) для адекватного описания экспериментальных зависимостей $S(T)$ теоретической зависимостью $S^*(T)$, минимизирующей функционал (12). Это подтверждается аппроксимацией зависимости $S(T)$ для MBVA ($\mu_1^*, \chi_m > 0$) функцией $S^*(T)$ для ряда (12) со слагаемым $\propto S^6$ [21].

ЗАКЛЮЧЕНИЕ

Изложенное выше показывает эффективность использования параметров конформационного состояния молекул $Q_k = \langle \cos^2 \phi_k \rangle$ в нематическом ЖК при анализе взаимодействия конформационных степеней свободы и его влияния на свойства ЖК. В отличие от флюктуирующих значений $\phi_k(\mathbf{r}, \Omega)$ для отдельных молекул, измеряемые величины Q_k для взаимодействующих конформационных степеней свободы связаны простыми выражениями. Для азометинов взаимодействие двух актуальных степеней свободы выражается связью (1), позволяющей ранжировать доноры и акцепторы X в производных **1** и **2** по значениям коэффициента κ .

Для нематического ЖК учет связи (1) в рамках феноменологической теории позволил вывести эмпирически установленные выражения (8) и (10) для температуры T_{NI} перехода N—I и ее изменения $\Delta T_{NI}(N-Z)$ при наличии прямого и косвенного стерических эффектов боковых заместителей Z в молекулах типа **2**. Корреляция между изменениями δ_k параметров Q_k в нематической фазе, обусловленная внутримолекулярными электронными свойствами заместителя X и межмолекулярными взаимодействиями, приводит к возможности конформационного полиморфизма нематических фаз азометинов, зависящего от конкуренции этих факторов. Взаимосогласованное изменение параметра ориентационного порядка молекул S и величин δ_k в нематической фазе проявляется в изменении зависимости $S(T)$ и квадратичной зависимости $\delta_k(S^2)$, которая является следствием симметрии нематической фазы и отсутствия инварианта $SpS = 0$. Развитый здесь подход можно использовать для исследования смектических ЖК и других статистически-упорядоченных сред азометинов.

СПИСОК ЛИТЕРАТУРЫ

1. Demus D., Demus H., Zaschke H. Flüssige Kristalle in Tabellen. DDR: Deutscher Verlag für Grundstoffindustrie, 1974. – Vol. 1; 1984. – Vol. 2.
2. Аверьянов Е.М. Стерические эффекты заместителей и мезоморфизм. – Новосибирск: Изд-во СО РАН, 2004.
3. Минкин В.И., Жданов Ю.А., Медяницева Е.И., Остроумов Ю.А. Азометины. Структура, свойства и применение / Под ред. Ю.А. Жданова. – Ростов н/Д: Изд-во РГУ, 1967. – С. 72 – 95.
4. Гартман Г.А., Пак В.Д. // Журн. структур. химии. – 1984. – **25**, № 3. – С. 39 – 42.
5. Пивоварова Н.С., Болдескул И.Е., Пеньковский В.В. и др. // Журн. общ. химии. – 1988. – **58**, № 6. – С. 1360 – 1367.
6. Pivovarova N.S., Boldeskul I.E., Shelyagenco S.V., Fialkov Yu.A. // J. Mol. Struct. – 1988. – **174**, N 2. – P. 297 – 302.
7. Аверьянов Е.М. // Журн. структур. химии. – 1993. – **34**, № 4. – С. 89 – 97. [J. Struct. Chem., **34**, No. 4, 567 – 574 (1993)].
8. Журко Г.А., Александрийский В.В., Бурмистров В.А. // Журн. структур. химии. – 2006. – **47**, № 4. – С. 642 – 647. [J. Struct. Chem., **47**, No. 4, 622 – 628 (2006)].
9. Aver'yanov E.M. // Mol. Mats. – 2001. – **14**, N 4. – P. 291 – 301.
10. Аверьянов Е.М. // Журн. структур. химии. – 2002. – **43**, № 2. – С. 387 – 390. [J. Struct. Chem., **43**, No. 2, 360 – 363 (2002)].
11. Gawinecki R. // Polish J. Chem. – 1986. – **60**, N 3. – P. 831 – 836.
12. Аверьянов Е.М. // ФТТ. – 1982. – **24**, № 9. – С. 2839 – 2841. [Sov. Phys. Solid St., **24**, No. 9, 1609 – 1611 (1982)].
13. Pron A., Rannou P. // Progr. Polym. Sci. – 2002. – **27**, N 2. – P. 135 – 190.
14. Liu C.-L., Chen W.-C. // Macromol. Chem. Phys. – 2005. – **206**, N 21. – P. 2212 – 2222.
15. Liu C.-L., Tsai F.-C., Chang C.-C. et al. // Polymer. – 2005. – **46**, N 25. – P. 4950 – 4957.
16. Iwan A., Sek D. // Progr. Polym. Sci. – 2008. – **33**, N 3. – P. 289 – 345.
17. Де Жен П. Физика жидкых кристаллов. – М.: Мир, 1977.
18. Aver'yanov E.M. // Liq. Cryst. – 1987. – **2**, N 4. – P. 491 – 504.
19. Cotrait M., Pesquer M. // Acta Crystallogr. B. – 1977. – **33**, N 9. – P. 2826 – 2834.
20. Cotrait M., Sy D., Ptak M. // Acta Crystallogr. B. – 1975. – **31**, N 7. – P. 1869 – 1874.
21. Аверьянов Е.М. Эффекты локального поля в оптике жидких кристаллов. – Новосибирск: Наука, 1999.